

## 浮遊砂の少ない河川の抵抗法則について

徳島大学工学部 正員 ○杉尾 捨三郎  
全 員 囲部 健士  
三井建設(株) 田辺 善弘

### 1. 概要

本研究は浮遊砂が比較的少ない河川に対する抵抗法則を論じたもので、河床形態の変化を考慮に入れた、新しい沖積河川の抵抗法則の開発を企図したもので、わが国の17河川の実測資料をもとに検討している。

### 2. 過去の研究

沖積河川の抵抗法則の研究は、シェジャー、マニングなどの古典的研究に始まり、現在なお幾種類の方法が提案されているが、沖積河川に対し広く適応するものは無い。これは河床材料の粒度と配合、河川の寸法、形状、河床波の規模、植生、河岸地盤、水理特性などが区々であるため、研究を一層困難にしている。図-1は17河川に対する野外資料から、平均流速  $V$  と  $R^{2/3}S^{1/2}$  の関係を描いているが、粗度係数  $\varphi$  は 0.01 ～ 0.05 の間に広く分布しており、各河川ごとにみても描点の分散巾はきわめて広い。

実用的な目的からいえば、その河川、その地点ごとに適切な  $\varphi$  の値を選べば足りるのであるが、何故その値をとるべきかの根柢を問はれれば、常に困惑したのであった。

過去にもアインシュタイン、椿・古屋その他諸研究があるが、汎用性のあるものは少ない。杉尾のレジム型平均流速公式は、河床形態ごとに4種の同型の公式を提案しているが、描点の適合度の点からいえばマニング式より余程良好と思われるが、定数  $K$  の物理的意義が明確でないという難点がある。

岸・黒木は、各種室内実験の結果を解析し、図-2に示すように流速係数  $\varphi$  を、掃流かん数  $T_*$  と  $R/d$  を用いて表現する方法を提案し、表-2のように6種に分類した。このうちの砂堆河床Ⅰに対しては(1)式を示している。

$$\text{砂堆河床 I : } \varphi = 2.4 \left( \frac{R}{d} \right)^{1/6} T_*^{-1/3} \quad (1)$$

$$\text{砂堆河床 II : } \varphi = 8.9 \quad (2)$$

$$\text{平坦河床 : } \varphi = 6.9 \left( \frac{K_o}{K} \right)^{1/2} \left( \frac{R}{d} \right)^{1/6} \quad (3)$$

ここに  $\varphi = V/U_*$ ,  $U_* = \sqrt{gRS}$  = 蘭標速度,  $R$  = 径深,  $S$  = エネルギー勾配,  $d$  = 河床の砂の平均粒径である。

また掃流かん数  $T_* = U_*^2 / \{(6/p - 1)\}gd$  とする。

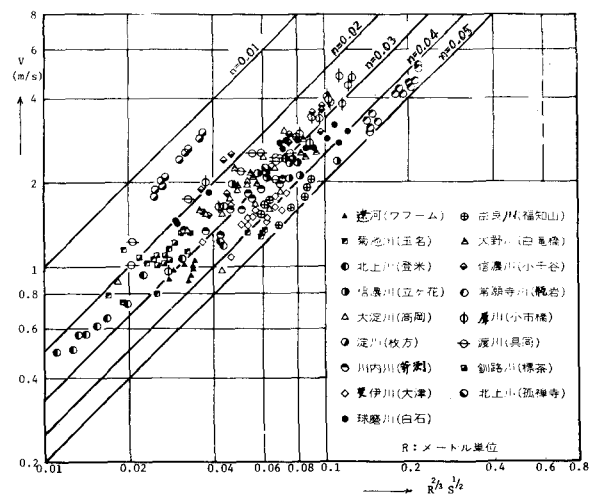


図-1.  $V$  と  $R^{2/3}S^{1/2}$  との関係(17河川)

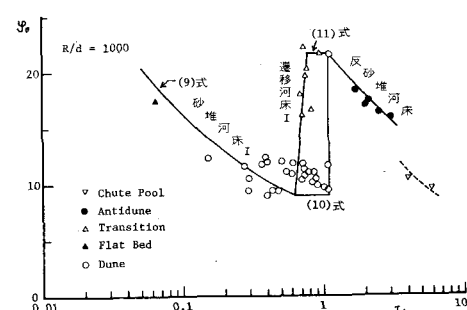


図-2.  $\varphi$  と  $T_*$  との関係(岸・黒木)

さて(1)式を変形すれば  $\varphi = 2.4[\tau_* \cdot (R/d)^{-1/2}]^{-1/3}$  となるので、 $\varphi$  と  $\tau_* \cdot (R/d)^{-1/2}$  を両対数紙の両軸にとり、17河川の資料を点描すれば図-3が得られる。図-3上では(1)式は水平と $-1/3$ の勾配をもつ直線となる。これによれば、大部分の描点は(1)式の示す砂堆河床Ⅰの直線の周囲に集中する傾向があり、実験水路だけでなく、自然河川に対してもほぼ満足することがわかる。

(2)式周辺の描点は砂堆河床Ⅱに対応するもので、淀川(枚方)の描点は(3)式の平坦河床にちかい。著者の見解によれば、枚方の描点では  $\varphi = 25$  であって 勾配ゆるく河床砂は微細であり、砂れんに相当すると判定されるのであるが、この点は兩氏と若干意見が異なるのである。

### 3. 流速係数比 $\varphi/g_0$ を用いた解析

本文では、固定床とみなししたときの仮想上の流速係数  $g_0$  を次式により算定し、 $\varphi/g_0$  と  $u_*/w_f$  の関係を検討することにした(図-5)。

$$g_0 = 8.5 - \frac{1}{K} + \frac{2.3}{K} \log_{10} \frac{R}{d_{35}} \quad \dots (4)$$

ここに  $K$  はカルマン常数で、清水の場合には  $K = 0.40$  であるが、浮遊砂が多いときは  $K$  はそれより減少する。ここでは Paintal & Garde の図(図-4)を利用してこととし、 $\tau_* < 0.50$  の範囲では  $K = 0.40$  とみなすこととした。また  $w_f$  は河床砂の 35% 粒径に対する沈降速度で、Rubey 公式により算定した。なお図-4における  $w_f$  の計算に当っては、 $d = d_{35}$  とした。図-5 の描点の散在はいちばんしが、およそ次式で両無次元量の関係を示す。

$$\frac{u_*}{w_f} < 0.27 ; \frac{\varphi}{g_0} = 1.0 \quad \dots (5)$$

$$0.27 < \frac{u_*}{w_f} < 2.0 ;$$

$$\frac{\varphi}{g_0} = 0.458 \left( \frac{u_*}{w_f} \right)^{-0.60} \quad \dots (6)$$

即ち  $u_*/w_f$  が小さく、0.27付近より小ならば平坦河床で、固定床に近い河床抵抗を示すが、 $u_*$  の増加と共に  $\varphi/g_0$  は徐々に減少し、砂堆(Dunes)から砂疊(Ripples)にまで変化する。砂れんでは  $\varphi/g_0$  は0.30付近に低下するが、これは

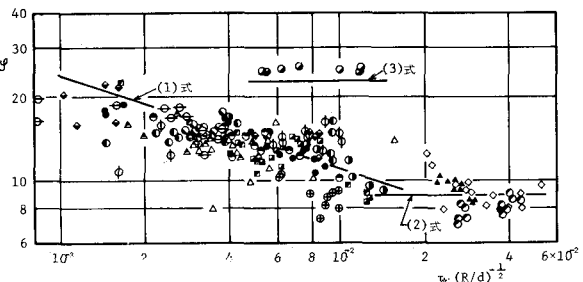


図-3.  $\varphi$  と  $\tau_* \cdot (R/d)^{-1/2}$  との関係図(岸・黒木公式)

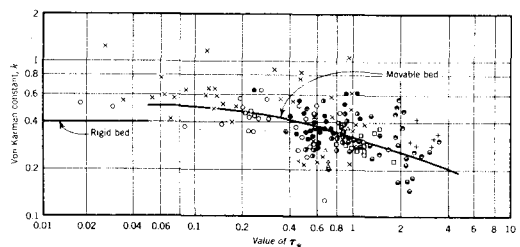


図-4. カルマン常数  $K$  と  $\tau_*$  との関係

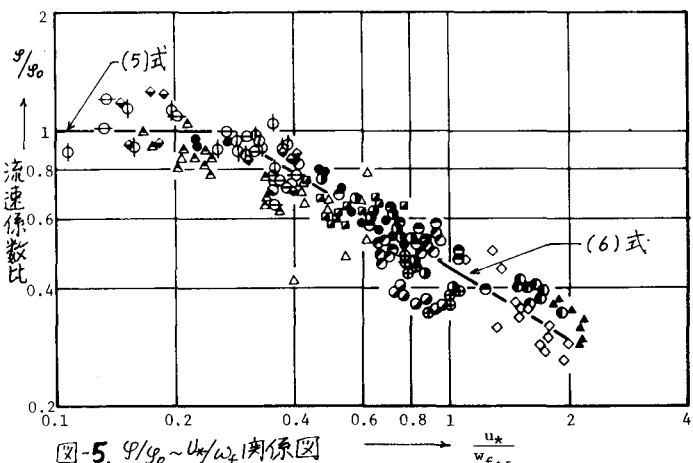


図-5.  $\varphi/g_0$  ~  $u_*/w_f$  関係図

砂れんは河床波抵抗が最大のもので、平坦な固定床とみなしした時の平均流速の 30% にまで  $V$  が低下することを意味する。即ち図-5は、単に一種の抵抗法則を示すだけではなく、河床波の形状も考慮に入めたという点で意義がある。なお図上で、 $u_*/w_f > 2.0$  の領域については将來さくに検討すべきであると考える。